

بررسی توانایی نشانگر ناپیوستگی ساختاری محلی روی داده‌های لرزه‌ای سه‌بعدی در شناسایی ریزگسل‌ها

نقیسه ظریف کریمی^۱، محمدعلی ریاحی^{۲*} و امین روشنبل کاهو^۳

^۱ دانش آموخته کارشناسی ارشد زئوفیزیک (لرزه‌شناسی)، مؤسسه زئوفیزیک، دانشگاه تهران، ایران

^۲ دانشیار، مؤسسه زئوفیزیک، دانشگاه تهران، ایران،

^۳ استادیار، دانشکده معدن، زئوفیزیک و نفت، دانشگاه صنعتی شهرورد، ایران

(دریافت: ۸/۴/۶، پذیرش نهایی: ۱۱/۱۱/۹۰)

چکیده

در این مقاله تفکیک‌پذیری و توانایی نشانگر ناپیوستگی ساختاری محلی روی داده‌های لرزه‌ای سه‌بعدی در شناسایی ریزگسل‌ها بررسی شده است. بدین منظور سه مدل زمین‌شناسی متفاوت تولید شد. در این مدل‌ها موجک چشمی لرزه‌ای یک موجک ریکر ایستا با فاز صفر است. در ضمن فرض شد اثرات کاهش دامنه لرزه‌ای با افزایش عمق و پدیده جذب جبران شده‌اند. مشخص شد که نشانگر ناپیوستگی ساختاری محلی به تغییرات ابعاد مکعب تحلیل و پارامترهای لرزه‌ای شامل نسبت دامنه سیگنال به نویه و بسامد غالب موجک لرزه‌ای حساس است. در این تحقیق چگونگی تأثیر تغییر این پارامترها بر نتایج اعمال این نشانگر بررسی شد و برای هر مدل مقادیری از نسبت دامنه سیگنال به نویه، بسامد غالب موجک لرزه‌ای و ابعاد مکعب تحلیل که بهترین نتایج را به دست داده‌اند، در حکم مناسب‌ترین مقادیر برای این پارامترها پیشنهاد شدند.

واژه‌های کلیدی: ناپیوستگی ساختاری محلی، گسل، همدوسي، مقدار ويژه، ساختار ويژه، ماتریس همبستگی، شباهت، همبستگی متقابل

Local structural discontinuity attribute robustness on 3-D seismic data to identify subtle faults

ZarifKarimi, N.¹, Riahi, M. A.² and RoshandelKahoo, A.³

¹ Graduate M.Sc. Student Geophysics, Institute of Geophysics, University of Tehran, Iran

² Associate Professor, Institute of Geophysics, University of Tehran, Iran

³ Assistant Professor, School of Mining, Petroleum & Geophysics Engineering, Shahrood University of Technology, Iran

(Received: 27 Jun 2009, Accepted: 31 Jan 2012)

Abstract

Limited seismic data quality and complex tectonics make for less than ideal interpretation conditions. However, modern geometric attributes including coherency has shown to be effective in showing the lateral extents of subtle and small-scale geologic features not usually visible in conventional seismic sections. This geometric attributes are better suited than some older generation seismic attributes as they work on the full data volume and eliminate the need for pre-picked horizons for them to be implemented. Coherency attributes applied to 3D seismic data volume have confirmed to be an effective method for imaging geological discontinuities such as fault and stratigraphic features. These geological features are significant since they are often associated with the formation of subsurface traps in which petroleum might accumulate. Coherence calculations can help with the problems mentioned above. 3-D Seismic coherency provides interpreters a

different view, revealing subtle features not easily seen in the seismic data. It calculates the local waveform similarity in both In-line and X-line direction and estimates lateral discontinuity caused by variation in structure, stratigraphy, lithology, porosity, and the presence of hydrocarbons. Small regions of seismic traces cut by a fault surface generally have a different seismic character than the corresponding regions of neighboring traces. This results in a sharp discontinuity in local trace-to-trace coherency. Calculating coherency for each grid point along a time slice results in lineaments of low coherency along faults. When this process is repeated for a series of time slices, these lineaments become fault surfaces, even though fault plane reflections have not been recorded. Stratigraphic boundaries generate similar discontinuities. The technique may be employed to produce coherency horizon slice maps, or to transform a reflection amplitude 3-D data volume into an entirely new volume or "cube" of coherence coefficients. Map views of coherency data afford the opportunity to see stratigraphic changes more clearly. For example, the channel features that are readily apparent to laymen in the coherency time slice are very difficult to see in a traditional amplitude time slice.

Conventional amplitude time slices are often useful for viewing faults that run perpendicular to strike. However, when faults run parallel to strike, they become more difficult to see because the fault lineaments become superimposed on bedding lineaments. The coherence calculation suppresses laterally consistent features, in effect removing the bedding. Because of this, the 3-D coherence algorithm reveals faults in any orientation equally well.

Until recent years, most 3-D surveys covered relatively small areas. But the success of the technique and falling costs have caused surveys to become larger. Now some vast spec 3-D surveys cover hundreds of square kilometers and run to tens of millions of traces. Sorting through that amount of information is a daunting task. However, since calculating coherence is an non interpretive process, it can quickly provide the geoscientist with a view of regional faulting.

The first generation coherence algorithm, cross correlates each trace with its in-line and cross-line neighbor and then combines the two results after normalizing by the energy. Since this approach deals with only three traces, it is computationally very efficient but may lack robustness, especially when dealing with noisy data. The second generation coherency algorithm uses a multi-trace semblance measure. Using more traces in the coherency computations results in greater stability in the presence of noise. The third generation algorithm is also a multi-trace coherency measure. However, it is based on the Eigen-structure of the covariance matrix formed from the traces in the analysis cube.

In this paper, an analysis method is developed for the robust and efficient estimation of 3D seismic local structural entropy, which is a measure of local discontinuity of 3D seismic data to identify its subtle faults. This method avoids the computation of large covariance matrices and eigenvalues, associated with the eigenstructure-based and semblance-based coherency estimates. We introduce a number of local discontinuity measures, based on the relations between subvolumes (quadrants) of the analysis cube. The scale of the analysis is determined by the type of geological feature that is of interest to the interpreter. By combining local structural entropy volumes using various scales, we obtain a higher lateral resolution and better discrimination between incoherent and coherent seismic events. Furthermore, the method developed is computationally much more efficient than the eigenstructure-based coherency method. Its robustness is demonstrated by synthetic and real data examples. To study the robustness of the algorithm and the effective parameters, three synthetic geological model containing faults generated and the best values for these parameters were suggested. This local attributes

was applied on real 3D seismic data of a faulted gas field. Results show the robustness of this algorithm in revealing subtle faults. In this algorithm local similarity in both In-line and X-line direction and in depth direction was calculated based on the relations between sub-volumes (quadrants) of the analysis cube and estimates the lateral and vertical discontinuity. The scale of the analysis cube is determined by the type of geological feature that is of interest to the interpreter.

Not only is this method robust to noise than original three-trace cross-correlation-based algorithm but also is computationally efficient because it avoids the computation of large covariance matrixes and Eigen-values, associated with the Eigen-structure-based and semblance-based coherency estimates.

Key words: Structural features, Fault, Coherency, Cross-correlation, Semblance, Local Structural discontinuity, Eigen-value, Eigen-structure, Covariance matrix

۱ مقدمه

توانایی بیشتری دارد. سومین روش همدوسی، همدوسی برمبانای ساختار ویژه را گستنکورن و مارفورت در ۱۹۹۹ عرضه کردند که همانند روش شباهت، چندردلرزوای است.

روش به کار رفته در این مقاله ناپیوستگی ساختاری محلی (LSE) (Local structural entropy) نسبت به روش همدوسی سه‌ردلرزوای همبستگی متقابل در مواجهه با نوافه توامندتر است؛ چراکه به منظور افزایش نسبت دامنه سیگنال به نوافه، می‌توان تعداد دلخواه و تا جایی که تفکیک پذیری قابل قبول باشد، افزایش داد، به علاوه از نظر محاسباتی نیز بسیار مقرون به صرفه‌اند.

از آنجاکه در این روش نیازی به پیک، کردن افق لرزه‌ای نیست، بسیار قابل اعتماد است چراکه پیک کردن افق علاوه بر اینکه فرایند پیچیده و وقت‌گیری است، سوگیری‌های تفسیری نیز به داده اعمال می‌کند. این روش بر یک مکعب سه‌بعدی داده لرزه‌ای اعمال شده است و یک مکعب سه‌بعدی ناپیوستگی در حکم خروجی به دست آمده است به طوری که به خوبی ناپیوستگی‌های ساختاری مانند گسل‌ها و رخساره‌های چینه‌شناسی مثل کانال‌ها را که در مقاطع لرزه‌ای متدالوی به آسانی قابل شناسایی نیستند، به تصویر در می‌آورد.

یکی از مسائل چالش‌برانگیز در تفسیر داده‌های لرزه‌ای بازتابی شناسایی ناپیوستگی‌های ساختاری مانند گسل‌ها و نهشته‌های چینه‌شناسی مانند کانال‌ها در داده‌های سه‌بعدی است. این رخساره‌های زمین‌شناسی از آن جهت اهمیت دارند که اغلب با شکل‌گیری تله‌های نفتی زیرسطحی در ارتباط‌اند. به علاوه مفسر با شناسایی ریز‌گسل‌ها در یک مخزن هیدرولیکی می‌تواند، محل دقیق چاه‌ها را تعیین کند و خطرهایا یا حتمالی در حفاری را کاهش دهد. روش‌های همدوسی از جمله نشانگرهای لرزه‌ای (شریف، ۱۹۹۱، براون، ۱۹۹۶؛ چوپرا و مارفورت، ۲۰۰۵) هستند که به خوبی ناپیوستگی‌های ساختاری همانند گسل‌ها و رخساره‌های چینه‌شناسی مثل کانال‌ها را که در مقاطع لرزه‌ای متدالوی به آسانی قابل شناسایی نیستند، به تصویر در می‌آورند. روش همدوسی بر مبنای همبستگی متقابل را اولین بار باهوریخ و فارمر در ۱۹۹۵ به منزله یک نشانگر عرضه کردند. این روش از نظر محاسباتی کارا است اما توانایی آن در مواجهه با داده نوافه‌دار کاهش می‌یابد. دومین روش همدوسی، همدوسی برمبانای شباهت را مارفورت و همکاران در ۱۹۹۸ عرضه کردند. در این روش از تعداد دلخواه‌های بیشتری در محاسبه همدوسی استفاده می‌شود و بنابراین نسبت به روش سه‌ردلرزوای همبستگی متقابل در مواجهه با داده نوافه‌دار

ظریف مثل ریزگسل‌ها و کاتال‌ها را که در داده‌های لرزه‌ای غیرقابل تشخیص هستند، شناسایی کرد. برای محاسبه یک مکعب LSE، اولین مرحله تعديل کردن (Modification) هر ردلرزه است، این کار با کم کردن میانگین هر ردلرزه از همان ردلرزه صورت می‌پذیرد (کهن و کویمن، ۲۰۰۲):

$$\hat{d}_{xyt} = d_{xyt} - E_1 \{d_{xyt}\} = d_{xyt} - \frac{1}{N_t} \sum_{k=1}^{N_t} d_{xyk} \quad (1)$$

که در آن، d_{xyt} ، نمونه Ω از ردلرزه اصلی در موقعیت (x, y) ، \hat{d}_{xyt} ، نمونه Ω از ردلرزه تعديل شده در موقعیت (x, y) و dt ، تعداد کل نمونه‌ها در یک ردلرزه است. سپس مفسر، زیرمجموعه کوچکی از ردلرزه‌های مکعب اصلی را که در اصطلاح به آن مکعب تحلیل گفته می‌شود انتخاب می‌کند. ابعاد مکعب تحلیل بستگی به نوع رخساره زمین‌شناسی، نحوه لایه‌بندی، نسبت دامنه سیگنال به نوافه و نوع گسل‌های موجود در مکعب داده‌لرزه‌ای دارد، این مکعب تحلیل در کل حجم داده لرزه‌ای سه‌بعدی تعديل شده حرکت می‌کند و برای هر نقطه یک اندازه LSE در حکم خروجی به دست می‌دهد. اندازه و شکل مکعب تحلیل براساس توزیع هندسی ردلرزه‌ها و نمونه‌هایی که باید برای محاسبات LSE استفاده شوند، تعریف می‌شود. مکعب تحلیل یک حجم سه‌بعدی شامل $2L_1 \times 2L_2$ ردلرزه در راستای خط گیرنده، $2L_2$ ردلرزه در راستای خط چشم و N نمونه زمانی درنظر گرفته می‌شود (به عبارت دیگر، مکعب تحلیل در راستای خط چشم و گیرنده بایستی ابعاد زوج داشته باشد). مکعب تحلیل به چهار ربع $L_1 \times L_2 \times N$ تقسیم می‌شود. سپس این چهار ربع به صورت بردارهای ستونی مرتب و a_i نامیده می‌شوند. ماتریس همبستگی مکعب تحلیل از همبستگی بین این چهار ربع به دست می‌آید و ماتریس S نامیده می‌شود (کهن و کویمن، ۲۰۰۲):

تشابه محلی ردلرزه‌ها در راستای خط چشم، در راستای خط گیرنده و عمق بر مبنای روابطی بین ربع‌های مکعب تحلیل محاسبه می‌شود و ناپیوستگی لرزه‌ای جانبی و قائم به دست می‌آید. نشانگر ناپیوستگی ساختاری محلی به تغییرات ابعاد مکعب تحلیل و پارامترهای لرزه‌ای شامل نسبت دامنه سیگنال به نوافه و بسامد غالب موجک لرزه‌ای حساس است. در این تحقیق چگونگی تأثیر تغییر این پارامترها بر نتایج اعمال این نشانگر روی داده‌های مصنوعی بررسی شد و برای هر مدل مقادیری از نسبت دامنه سیگنال به نوافه، بسامد غالب موجک لرزه‌ای و ابعاد مکعب تحلیل که بهترین نتایج را به دست داده‌اند، به منزله مناسب‌ترین مقادیر برای این پارامترها پیشنهاد شدند (این مقادیر در هر بخش معین شده‌اند). سپس به‌منظور نشان دادن کارایی روش ناپیوستگی ساختاری محلی (LSE)، این روش و روش‌های همدوسي سه‌ردلرزه‌ای همبستگی متقابل، همدوسي بر مبنای شباهت و روش همدوسي بر مبنای ساختار ویژه روی داده‌های واقعی اعمال شد. این روش نسبت به روش همدوسي سه‌ردلرزه‌ای همبستگی متقابل در مواجهه با نوافه توانمندتر است. همچنین از نظر محاسباتی نسبت به روش همدوسي بر مبنای شباهت و روش همدوسي بر مبنای ساختار ویژه کم هزینه‌تر است چرا که در این روش نیازی به محاسبه ماتریس‌های کوواریانس بزرگ و مقادیر ویژه آنها نیست.

۲ روش ناپیوستگی ساختاری محلی (LSE)

درونوگشتی ساختاری محلی (LSE) یک سنجه (معیار) از ناپیوستگی در محدوده صفر تا ۱ است، که نشان دهنده درجه پیوستگی داده‌های لرزه‌ای درون یک زیرحجم معین از مکعب لرزه‌ای است. با تبدیل یک حجم سه‌بعدی داده لرزه‌ای به یک حجم ناپیوستگی ساختاری محلی LSE، مفسر قادر خواهد بود، پدیده‌های زمین‌شناسی

$\varepsilon \leq 1$, $trs \leq 2|s|$ به دست وجود دارد) می‌آید.

تابع درونگشتی ساختاری، تابعی است که میزان بی‌نظمی (عدم قطعیت) را در داخل مکعب تحلیل اندازه می‌گیرد.

اگر در هر راستا یک ردیزه به هر ربع اضافه شود مکعب تحلیل به صورت $2L_2+1 \times 2L_1+1$ در می‌آید و در این حالت می‌توان مقدار LSE به دست آمده را به مرکز مکعب تحلیل نسبت داد.

۳ پارامترهای مؤثر بر الگوریتم ناپیوستگی ساختاری محلی (LSE)

پارامترهای تأثیرگذار بر الگوریتم ناپیوستگی ساختاری محلی عبارت اند از ابعاد مکعب تحلیل و پارامترهای لرزه‌ای شامل نسبت دامنه سیگال به نوشه و بسامد غالب موجک لرزه‌ای. به منظور بررسی تأثیر تغییرات ابعاد مکعب تحلیل، نسبت دامنه سیگال به نوشه و بسامد غالب موجک لرزه‌ای، بر نتایج اعمال این الگوریتم بر داده‌های لرزه‌ای سه‌بعدی، سه مدل زمین‌شناسی متفاوت تولید شد که به ترتیب عبارت اند از: ۱- مدل زمین‌شناسی مصنوعی با لایه‌بندی افقی، ۲- مدل زمین‌شناسی مصنوعی با لایه‌بندی شبیه‌دار و ۳- مدل زمین‌شناسی مصنوعی با لایه‌بندی متقاطع. در این مدل‌ها موجک (static) چشمی لرزه‌ای یک موجک ریکر ایستا (static) (فرض می‌شود با زمان تغییر نمی‌کند) با فاز صفر است. در ضمن فرض می‌شود پدیده کاهش دامنه لرزه‌ای با افزایش عمق (اثر واگرایی divergence effect) و پدیده جذب (جذب مؤلفه‌های بسامدی زیاد و کاهش محتوای بسامدی با افزایش عمق) در مرحله پردازش جبران شده‌اند.

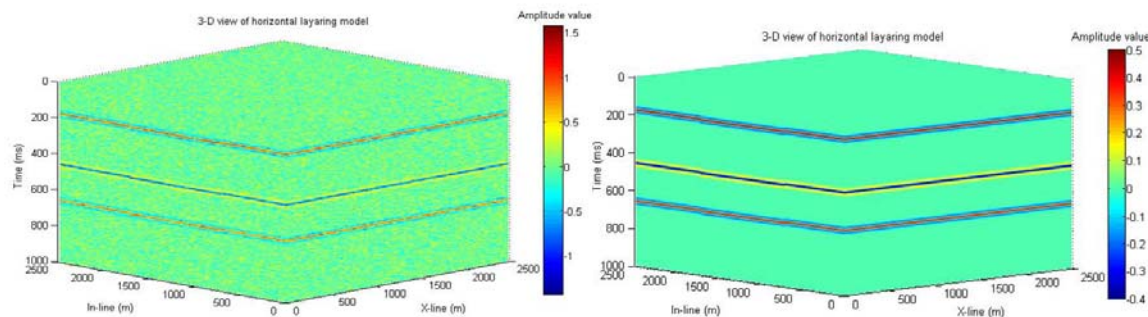
$$S = \frac{1}{NL_1 L_2} \begin{bmatrix} a_1^T a_1 & \cdots & a_1^T a_4 \\ \vdots & \ddots & \vdots \\ a_4^T a_1 & \cdots & a_4^T a_4 \end{bmatrix} \quad (2)$$

مؤلفه‌های قطری این ماتریس خودهمبستگی‌های a_1 تا a_4 هستند و سایر مؤلفه‌ها، همبستگی متقابل a_j, a_i هستند. این ماتریس متقارن است و ۶ مؤلفه غیرقطري مستقل دارد که عبارت‌اند از: ۲ مؤلفه مربوط به همبستگی متقابل در راستای خط چشمه، ۲ مؤلفه مربوط به همبستگی متقابل در راستای خط گیرنده و ۲ مؤلفه مربوط به همبستگی متقابل فضایی در راستای قطری.

اندازه LSE به یک نقطه معین در مکعب تحلیل نسبت داده می‌شود که به طور کلی با (x, y, t) مشخص می‌شود. مقدار LSE برابر رد نرمال شده ماتریس همبستگی خواهد بود که با رابطه (۳) نشان داده می‌شود (کهن و کویفمن، ۲۰۰۲):

$$\varepsilon(x, y, t) = \frac{trs}{\|S\|} - 1 = \frac{\sum_{i=1}^4 a_i^T a_i}{\sqrt{\sum_{i,j=1}^4 [a_i^T a_j]^2}} - 1 \quad (3)$$

که در آن، trs روش نرمال‌سازی هیلبرت-اشمیت است (نرم اقلیدسی) (گلوب و ون‌لون، ۱۹۸۹). هنگامی که هر چهار ربع مکعب تحلیل کاملاً همبسته باشند (در شرایط زمین‌شناسی که کمترین ناپیوستگی وجوددارد)، مؤلفه‌های ماتریس همبستگی برابر می‌شوند، بنابراین $trs = 1$, $\varepsilon = 0$. به دست می‌آید. وقتی هیچ همبستگی بین ربع‌های مکعب تحلیل وجود ندارد (در شرایطی که بیشترین ناپیوستگی



شکل ۱. مکعب لرزه‌ای سه‌بعدی از مدل زمین‌شناسی مصنوعی با لايه‌بندی افقی شامل سه لایه گسل‌خورده با بسامد غالب موجک لرزه‌ای برابر 30 Hz ، (الف) مدل بدون نویه، (ب) مدل با نسبت دامنه سیگنال به نویه ۱.

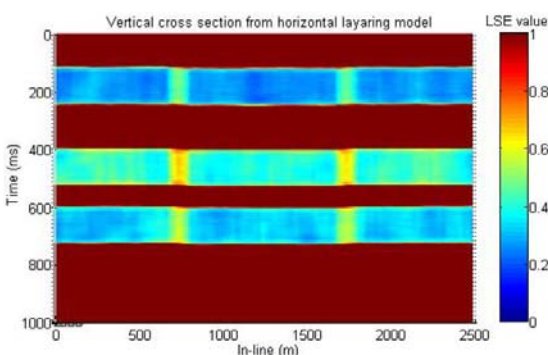
۱-۱-۳ بهینه‌سازی ابعاد مکعب تحلیل

ابعاد مکعب تحلیل بیش از همه به نوع رخساره زمین‌شناسی، نحوه لايه‌بندی و میزان افتادگی گسل‌های موجود در مکعب داده‌لرزه‌ای و سپس نسبت سیگنال به نویه در داده‌های لرزه‌ای بستگی دارد. در این بخش به منظور بررسی تأثیر تغییرات ابعاد مکعب تحلیل بر نتایج دو مکعب تحلیل با ابعاد $4 \times 4 \times 6$ و $15 \times 4 \times 6$ (شکل ۳۱) برای اعمال الگوریتم ناپیوستگی ساختاری محلی (LSE) در نظر گرفته شد و ابعاد مکعب تحلیل برای این مدل پس از تجزیه و تحلیل $6 \times 6 \times 31$ پیشنهاد شد. در این مدل نسبت دامنه سیگنال به نویه ۱ و بسامد غالب موجک لرزه‌ای 30 Hz در نظر گرفته شد.

۱-۳ مدل زمین‌شناسی مصنوعی با لايه‌بندی افقی

برای بررسی تأثیر و عملکرد الگوریتم‌های نوین همدوسوی بر داده‌های لرزه‌ای سه‌بعدی، یک مکعب لرزه‌ای سه‌بعدی مصنوعی دارای سه لایه افقی گسل‌خورده تولید شد.

مکعب داده شامل $250 \times 100 \times 100$ نمونه زمانی، ردلرزه در راستای خط گیرنده و 100×100 ردلرزه در راستای خط چشم است. طول نمونه‌برداری زمانی این داده‌ها 4 ms میلی‌ثانیه و طول نمونه‌برداری مکانی یا فاصله بین ردلرزه‌ها در راستای خط گیرنده و در راستای خط چشم به 25 m است. بنابراین ابعاد مکعب داده برابر است با $1000 \text{ ms} \times 250 \text{ m} \times 250 \text{ m}$ (شکل ۱).

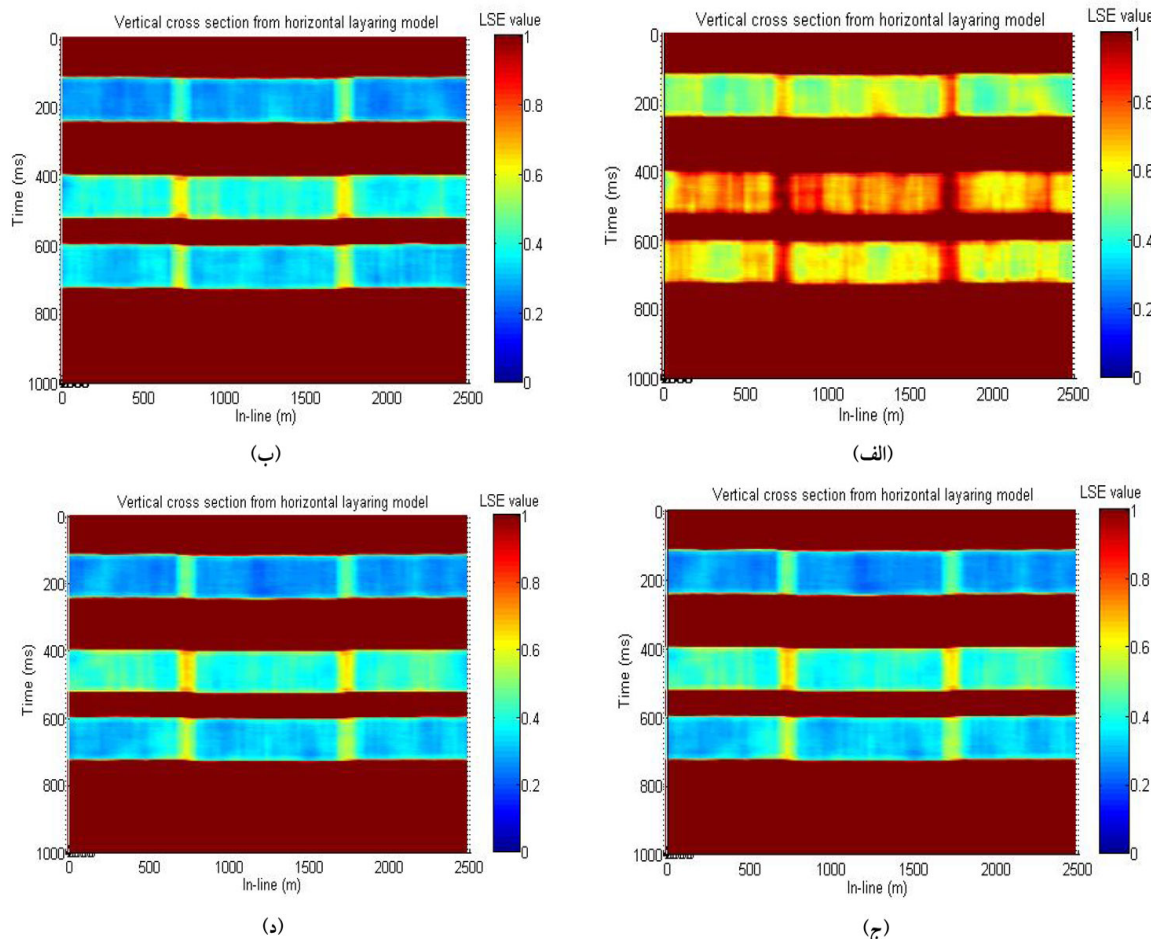


شکل ۲. تغییرات ابعاد مکعب تحلیل و نشان‌دادن توانایی الگوریتم ناپیوستگی ساختاری محلی (LSE) برای مدل زمین‌شناسی مصنوعی تولید شده با لايه‌بندی افقی و بسامد غالب 30 Hz و نسبت سیگنال به نویه ۱، (الف) مکعب تحلیل با ابعاد $4 \times 4 \times 6$ ، (ب) مکعب تحلیل با ابعاد $15 \times 4 \times 6$.

کم یعنی با نسبت سیگنال به نویفه $0/5$ هم قادر به شناسایی گسل‌ها هست اگرچه قدرت تفکیک آن کم است. با توجه به این شکل‌ها کاملاً مشخص است که با افزایش نسبت دامنه سیگنال به نویفه، تفکیک پذیری افزایش می‌یابد. با توجه به بررسی‌های صورت گرفته، این الگوریتم قادر است تا نسبت دامنه سیگنال به نویفه 1 گسل‌ها را با تفکیک پذیری مناسبی شناسایی کند. بنابراین برای بررسی الگوریتم ناپیوستگی ساختاری محلی (LSE) نسبت دامنه سیگنال به نویفه 1 انتخاب شد.

۲-۱-۳ نسبت دامنه سیگنال به نویفه

در این بخش در بررسی تأثیر تغییرات نسبت دامنه سیگنال به نویفه و نشان‌دادن توانایی الگوریتم ناپیوستگی ساختاری محلی (LSE)، چهار نسبت دامنه سیگنال به نویفه نتفاوت به کار رفته است. شکل‌های ۳-الف، ۳-ب، ۳-ج و ۳-د به ترتیب نسبت‌های سیگنال به نویفه $0/5$ ، $1/2$ ، $3/6$ و $3/16$ را نشان می‌دهند. ابعاد مکعب تحلیل با توجه به بخش قبل، 30 Hz و بسامد غالب موجک لرزه‌ای 30 Hz در نظر گرفته شد. همان‌طور که در این شکل‌ها مشاهده می‌شود این الگوریتم حتی برای داده‌های با کیفیت بسیار



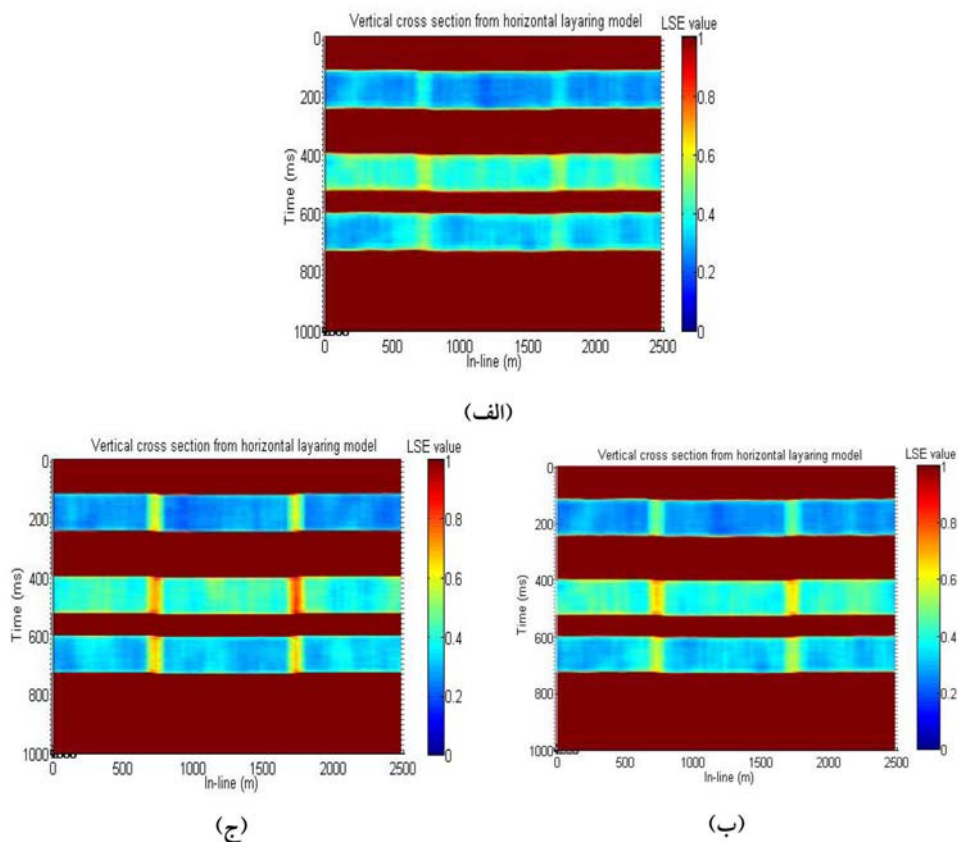
شکل ۳. تغییرات نسبت دامنه سیگنال به نویفه و نشان‌دادن توانایی الگوریتم ناپیوستگی ساختاری محلی (LSE) برای مدل زمین‌شناسی مصنوعی تولید شده با لایه‌بندی افقی و بسامد غالب 30 Hz ، مکعب تحلیل با ابعاد $31 \times 31 \times 31$ ، (الف) نسبت دامنه سیگنال به نویفه $0/5$ ، (ب) نسبت دامنه سیگنال به نویفه $1/2$ ، (ج) نسبت دامنه سیگنال به نویفه $3/16$ و (د) نسبت دامنه سیگنال به نویفه $3/6$.

۲-۳ مدل زمین‌شناسی مصنوعی با لایه‌بندی شب‌دار

در این بخش در بررسی تأثیر و عملکرد الگوریتم‌های نوین همدوسى در شناسایی گسل‌های یک لایه شب‌دار، یک مکعب لرزه‌ای سه‌بعدی مصنوعی دارای یک لایه شب‌دار گسل خورده با شب تقریبی 30 درجه تولید شد. مکعب داده شامل ۲۵۰ نمونه زمانی، ۱۰۰ ردلرزه در راستای خط گیرنده و ۱۰۰ ردلرزه در راستای خط چشمه است. طول نمونه برداری زمانی این داده‌ها ۴ میلی‌ثانیه و طول نمونه برداری مکانی یا فاصله بین ردلرزه‌ها در راستای خط گیرنده و در راستای خط چشمه برابر با ۲۵۰ متر است. بنابراین ابعاد مکعب داده برابر است با $250 \times 250 \times 1000 \text{ ms}$ (شکل ۵).

۳-۱-۳ بسامد غالب موجک لرزه‌ای

بسامد غالب موجک لرزه‌ای از دیگر پارامترهای مؤثر بر الگوریتم ناپیوستگی ساختاری محلی (LSE) در شناسایی گسل‌ها است. در این بخش به منظور بررسی تأثیر تغییرات بسامد غالب موجک لرزه‌ای بر نتایج اعمال این الگوریتم به ترتیب بسامدهای غالب 20 Hz (شکل ۴-الف)، بسامد غالب 25 Hz (شکل ۴-ب)، بسامد غالب 30 Hz (شکل ۴-ج) به کار برده شد. در این مدل‌ها با توجه به دو بخش قبل، ابعاد مکعب تحلیل $31 \times 6 \times 6$ و نسبت دامنه سیگنال به نویه مقدار ۱ در نظر گرفته شد. با مشاهده نتایج به خوبی مشخص است که افزایش یافتن بسامد غالب، تفکیک پذیری را افزایش می‌دهد.



شکل ۴. تغییرات بسامد غالب موجک لرزه‌ای و نشان‌دادن توانایی الگوریتم ناپیوستگی ساختاری محلی (LSE) برای مدل زمین‌شناسی مصنوعی تولید شده با لایه‌بندی افقی و نسبت دامنه سیگنال به نویه ۱، مکعب تحلیل با ابعاد $31 \times 6 \times 6$ (الف) بسامد غالب 20 Hz ، (ب) بسامد غالب 25 Hz ، (ج) بسامد غالب 30 Hz .

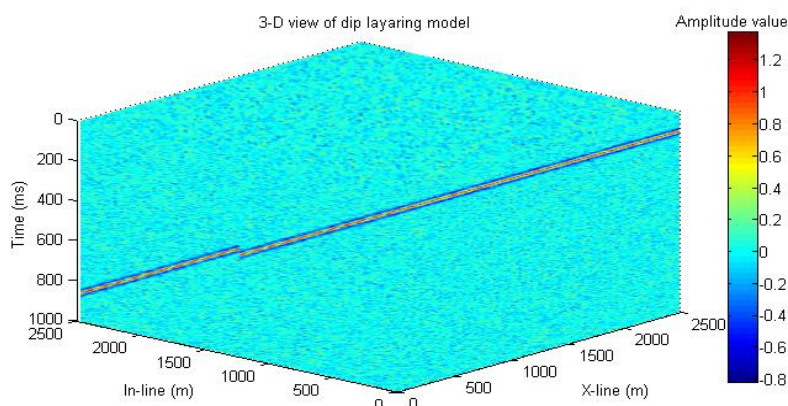
شیبدار و نیز به منظور بررسی تأثیر شیب لایه‌ها بر این الگوریتم همان نسبت‌های دامنه سیگنال به نوفه به کار رفته در بخش قبل به کار گرفته شد. شکل‌های ۷-الف و ۷-ب، ۷-ج و ۷-د، ۷-ه و ۷-و، ۷-ح و ۷-ط، به ترتیب نسبت‌های سیگنال به نوفه $0.05, 0.1, 0.2, 0.3$ را برای هر دو مقیاس رنگی نشان می‌دهند. ابعاد مکعب تحلیل با توجه به بخش قبل، $31 \times 6 \times 6$ و بسامد غالب موجک لرزه‌ای 30 Hz در نظر گرفته شد. همان‌طور که در این شکل‌ها مشاهده می‌شود این الگوریتم حتی برای داده‌های با کیفیت بسیار کم یعنی با نسبت سیگنال به نوفه 0.05 هم قادر به شناسایی گسل‌ها هست اگرچه قدرت تفکیک آن کم است. با توجه به این شکل‌ها کاملاً مشخص است که با افزایش نسبت دامنه سیگنال به نوفه، تفکیک‌پذیری افزایش می‌یابد. با توجه به بررسی‌های صورت گرفته، این الگوریتم قادر است تا نسبت دامنه سیگنال به نوفه 1 گسل‌ها را با تفکیک‌پذیری مناسب شناسایی کند. بنابراین برای بررسی الگوریتم ناپیوستگی ساختاری محلی (LSE) نسبت دامنه سیگنال به نوفه 1 انتخاب شد. در مورد زمین با لایه‌بندی شیبدار، تفکیک‌پذیری برای همه نسبت‌های سیگنال به نوفه به کاربرده شده در مقایسه با زمین با لایه‌بندی افقی، کاهش می‌یابد (مقایسه شکل‌های ۳ و ۷).

۱-۲-۳ بهینه‌سازی ابعاد مکعب تحلیل

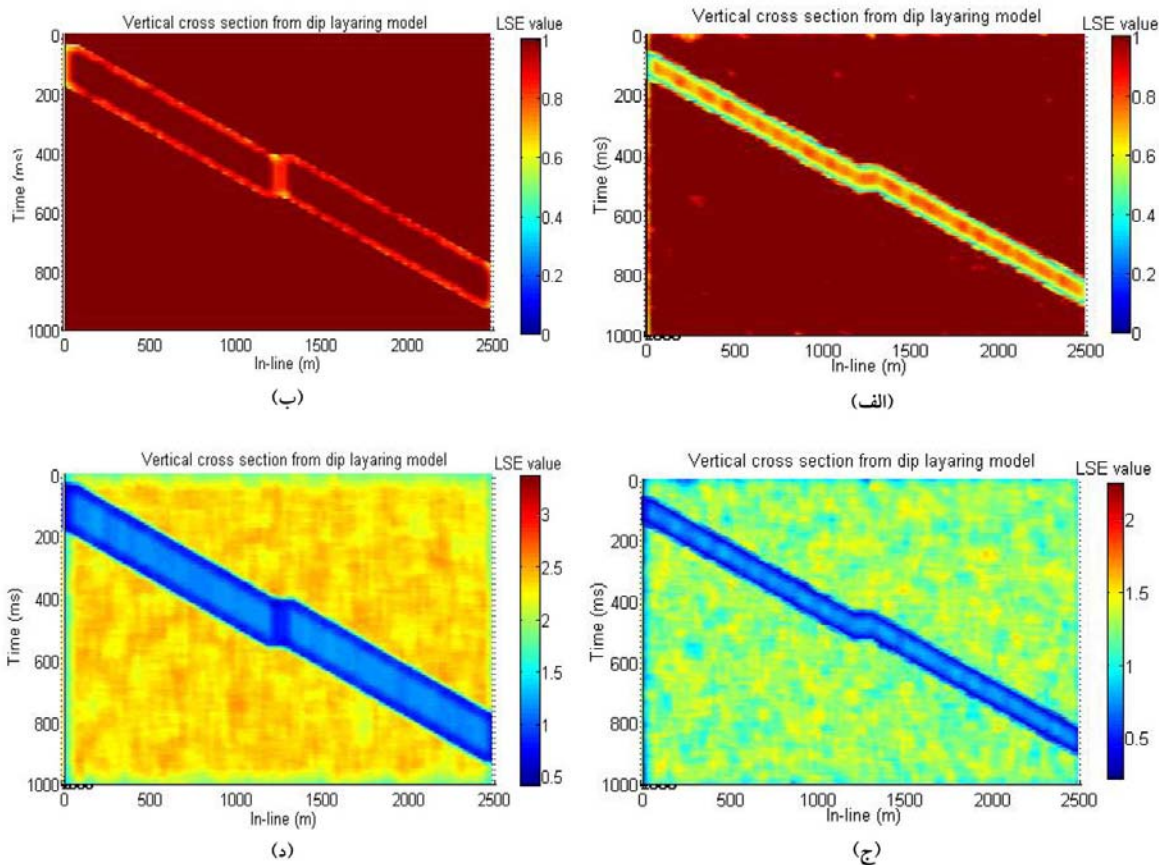
در ابتدا لازم به ذکر است از این بخش به بعد، به منظور افزایش تباین رنگی، علاوه بر مقیاس رنگی صفر تا یک، مقیاس رنگی اصلاح شده‌ای نیز برای نمایش نتایج آورده شده است. در این مقیاس مقادیر به دست آمده برای مکعب ناپیوستگی در عدد 2 ضرب شده و سپس به توان 0.05 رسیده‌اند، بنابراین مقادیر پایین مقادیر بالای 0.05 بزرگ‌تر شده‌اند. در این بخش به منظور بررسی تأثیر تغییرات ابعاد مکعب تحلیل بر نتایج دو مکعب تحلیل با ابعاد $15 \times 4 \times 4$ (شکل ۶-الف و شکل ۶-ب)، و با ابعاد $31 \times 6 \times 6$ (شکل ۶-ج و شکل ۶-د) برای اعمال الگوریتم ناپیوستگی ساختاری محلی (LSE) در نظر گرفته شد و ابعاد مکعب تحلیل برای این مدل پس از تجزیه و تحلیل $31 \times 6 \times 6$ پیشنهاد شد. در این مدل نسبت دامنه سیگنال به نوفه 1 و بسامد غالب موجک لرزه‌ای 30 Hz در نظر گرفته شد.

۲-۲-۳ نسبت دامنه سیگنال به نوفه

در این بخش برای بررسی تأثیر تغییرات نسبت دامنه سیگنال به نوفه و نشان‌دادن توانایی الگوریتم ناپیوستگی ساختاری محلی (LSE) برای مدل زمین با لایه‌بندی



شکل ۵. مکعب لرزه‌ای سه‌بعدی از مدل زمین‌شناسی مصنوعی با لایه‌بندی شیبدار شامل یک لایه گسل خورده، با بسامد غالب موجک لرزه‌ای ریکر 30 Hz و نسبت دامنه سیگنال به نوفه 1 .



شکل ۶. تغییرات ابعاد مکعب تحلیل و نشان دادن توانایی الگوریتم ناپیوستگی ساختاری محلی (LSE) برای مدل زمین شناسی مصنوعی تولید شده با لایه بندی شبیه دار و بسامد غالب موجک لرزه ای ۴۰Hz. نسبت دامنه سیگنال به نویه ۱، مکعب تحلیل با ابعاد ۱۵، ۴، ۴ (الف) با مقیاس رنگی صفر تا یک، (ب) با مقیاس رنگی اصلاح شده، مکعب تحلیل با ابعاد ۳۱، ۶، ۶ (ج) با مقیاس رنگی صفر تا یک، (د) با مقیاس رنگی اصلاح شده.

شیب دار (شکل ۸)، با مدل زمین با لایه بندی افقی (شکل ۴)، مشاهده می شود که تفکیک پذیری برای همه بسامدهای غالب موجک لرزه ای به کار برده شده، کاهش می یابد، به عبارت دیگر با در نظر گرفتن یک مقدار ثابت برای نسبت دامنه سیگنال به نویه، بسامد غالب موجک لرزه ای و ابعاد مکعب تحلیل در دو مدل، لایه ها در مدل زمین با لایه بندی شیب دار پهن تر تصویر شده اند.

۳-۳ مدل زمین شناسی مصنوعی با لایه بندی متقاطع برای بررسی تأثیر و عملکرد الگوریتم های نوین همدوسي در شناسایی گسل های مدل زمین شناسی با لایه بندی

۳-۲-۳ بسامد غالب موجک لرزه ای برای بررسی تأثیر تغییرات بسامد غالب موجک لرزه ای بر نتایج اعمال این الگوریتم بر مدل زمین با لایه بندی شبیه دار به ترتیب بسامدهای غالب ۲۰Hz (شکل ۸-الف و ۸-ب)، بسامد غالب ۴۰Hz (شکل ۸-ج و ۸-د)، بسامد غالب ۶۰Hz (شکل ۸-ه و ۸-و) به کار برده شد. در این مدل ها ابعاد مکعب تحلیل با توجه به بخش قبل، مقدار ۱ نسبت دامنه سیگنال به نویه با توجه به بخش قبل، مقدار ۱ در نظر گرفته شد. با مشاهده نتایج به خوبی مشخص است که افزایش بسامد غالب، تفکیک پذیری را افزایش می دهد. در این بخش نیز از مقایسه نتایج مدل زمین با لایه بندی

۱۱-۵ و ۱۱-۶، به ترتیب نسبت‌های سیگنال به نوفه $0/5$ ، $1/2$ ، $3/2$ را برای هر دو مقیاس رنگی نشان می‌دهند. ابعاد مکعب تحلیل با توجه به بخش قبل، 35Hz و 15Hz و بسامد غالب موجک لرزه‌ای در نظر گرفته شد. همان‌طور که در این شکل‌ها مشاهده می‌شود این الگوریتم حتی برای داده‌های با کیفیت بسیار کم یعنی با نسبت سیگنال به نوفه $0/5$ هم قادر به شناسایی گسل‌ها است، اگرچه قدرت تفکیک آن کم است. با توجه به این شکل‌ها کاملاً مشخص است که با افزایش یافتن نسبت دامنه سیگنال به نوفه، تفکیک‌پذیری افزایش می‌یابد. با توجه به بررسی‌های صورت‌پذیرفته این الگوریتم قادر است تا نسبت دامنه سیگنال به نوفه ۱ گسل‌ها را با تفکیک‌پذیری مناسبی شناسایی کند. بنابراین برای بررسی الگوریتم ناپیوستگی ساختاری محلی (LSE) نسبت دامنه سیگنال به نوفه ۱ انتخاب شد.

۳-۳-۳ بسامد غالب موجک لرزه‌ای

در بررسی تأثیر تغییرات بسامد غالب موجک لرزه‌ای بر نتایج اعمال این الگوریتم به ترتیب بسامدهای غالب 30Hz (شکل ۱۲-الف و ۱۲-ب)، بسامد غالب 35Hz (شکل ۱۲-ج و ۱۲-د)، بسامد غالب 40Hz (شکل ۱۲-ه و ۱۲-و) به کار برده شد. در این مدل‌ها ابعاد مکعب تحلیل با توجه به بخش قبل، مقدار ۱ در نظر گرفته شد. با مشاهده نتایج به خوبی مشخص است که افزایش بسامد غالب، تفکیک‌پذیری را افزایش می‌دهد. برای بررسی الگوریتم ناپیوستگی ساختاری محلی (LSE) بسامد غالب 35Hz انتخاب شد.

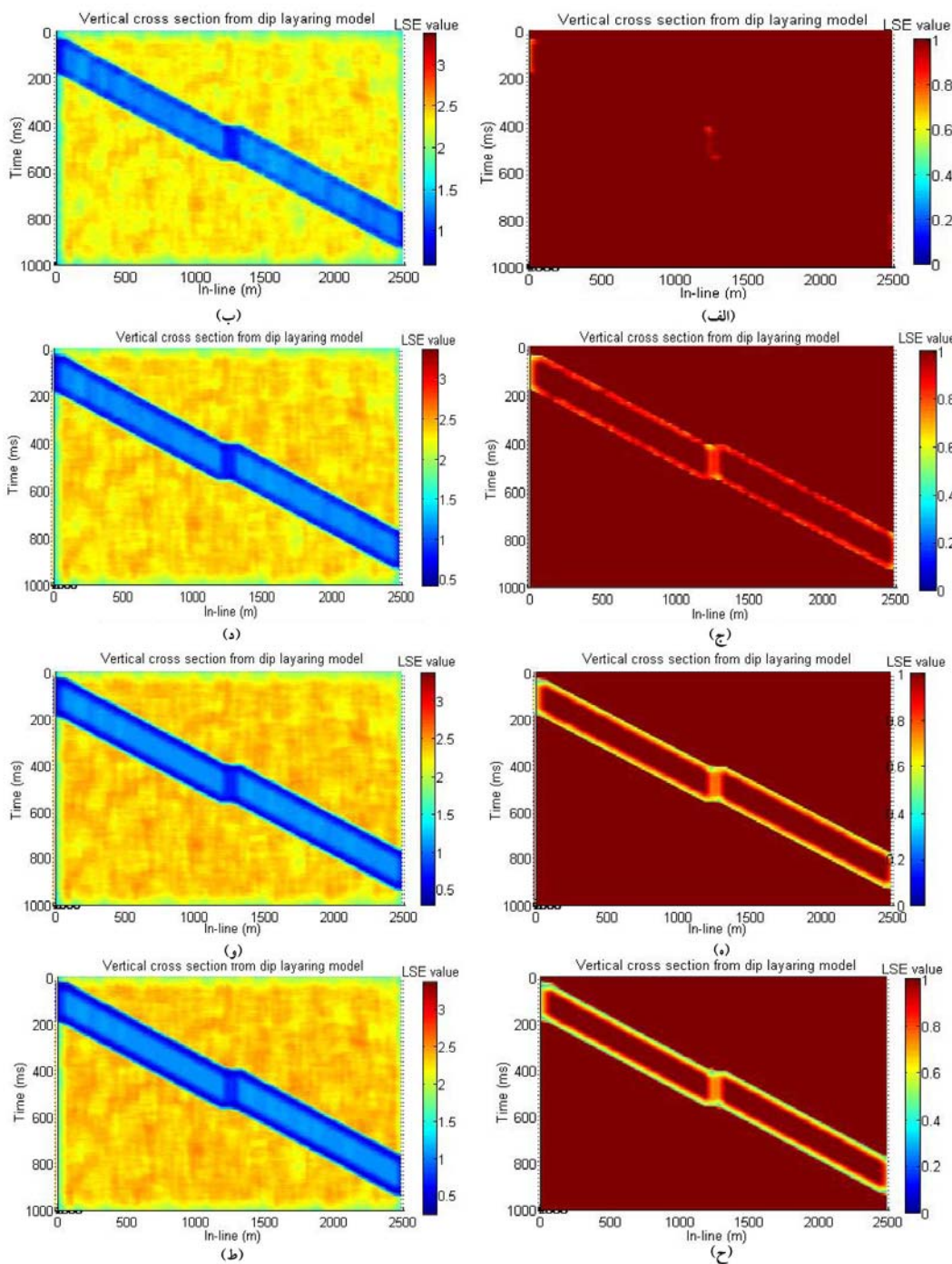
متقطع، یک مکعب لرزه‌ای سه‌بعدی مصنوعی دارای دو لایه شیبدار گسل‌خورده با شیب تقریبی 3° درجه تولید شد. مکعب داده شامل $250 \times 250 \times 100$ نمونه زمانی، 100 ردلرزه در راستای خط گیرنده و 100 ردلرزه در راستای خط چشم است. طول نمونه‌برداری مکانی این داده‌ها 4 میلی‌ثانیه و طول نمونه‌برداری مکانی یا فاصله بین ردلرزه‌ها در راستای خط گیرنده و در راستای خط چشم برابر با 25 متر است. بنابراین ابعاد مکعب داده برابر است با $2500 \text{m} \times 2500 \text{m} \times 1000 \text{ms}$ (شکل ۹).

۱-۳-۱ بهینه‌سازی ابعاد مکعب تحلیل

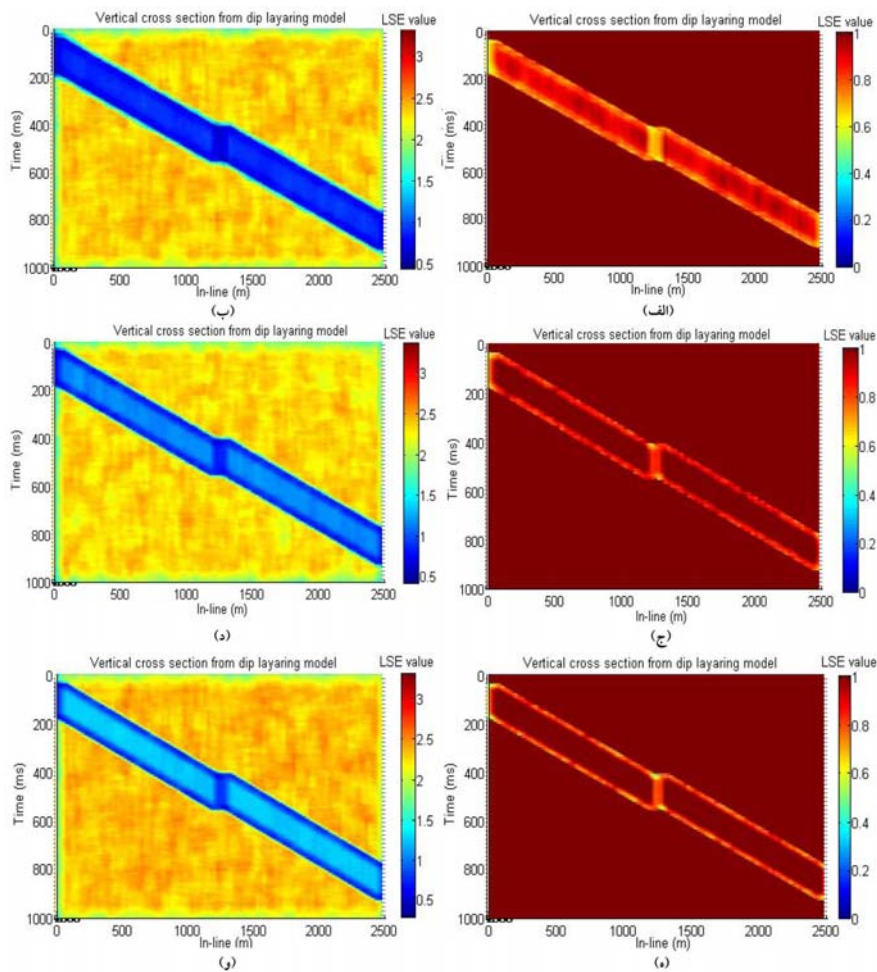
به منظور بررسی تأثیر تغییرات ابعاد مکعب تحلیل بر نتایج دو مکعب تحلیل با ابعاد $15 \times 15 \times 10$ (شکل ۱۰-الف و شکل ۱۰-ب)، و با ابعاد $31 \times 31 \times 10$ (شکل ۱۰-ج و شکل ۱۰-د) برای اعمال الگوریتم ناپیوستگی ساختاری محلی (LSE) در نظر گرفته شد. از آنجاکه افتادگی گسل در این مدل نسبت به مدل لایه شیبدار کمتر است، مکعب تحلیل با ابعاد $15 \times 15 \times 10$ گسل‌ها را با تفکیک‌پذیری بیشتر و لایه‌ها را با اندازه واقعی تر تصویر می‌کند. و ابعاد مکعب تحلیل برای این مدل پس از تجزیه و تحلیل $15 \times 15 \times 10$ پیشنهاد شد. در این مدل نسبت دامنه سیگنال به نوفه ۱ و بسامد غالب موجک لرزه‌ای 35Hz در نظر گرفته شد.

۲-۳-۳ نسبت دامنه سیگنال به نوفه

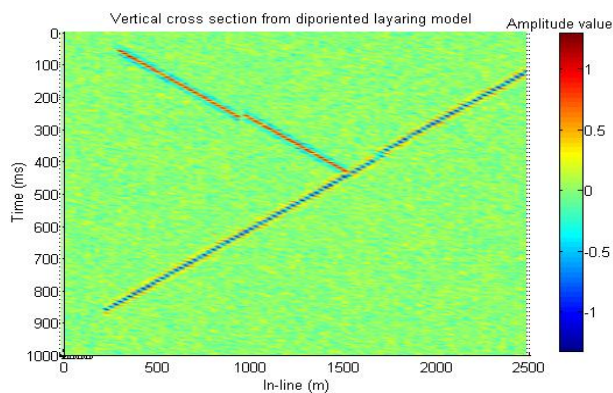
برای بررسی تأثیر تغییرات نسبت دامنه سیگنال به نوفه و نشان‌دادن توانایی الگوریتم ناپیوستگی ساختاری محلی (LSE) برای مدل زمین با لایه‌بندی متقطع همان چهار نسبت دامنه سیگنال به نوفه به کار رفته در بخش‌های قبل به کار رفت. شکل‌های ۱۱-الف و ۱۱-ب، ۱۱-ج و ۱۱-د،



شکل ۷. تغییرات نسبت دامنه سیگنال به نویه و نشان دادن توانایی الگوریتم ناپوسنگی ساختاری محلی (LSE) برای مدل زمین‌شناسی مصنوعی تولید شده با لایه‌بندی شبیدار و بسامد غالب موجک لرزه‌ای 30Hz مکعب تحلیل با ابعاد $31.6 \times 31.6\text{m}$. نسبت دامنه سیگنال به نویه $0/5$ (الف) با مقیاس رنگی صفر تا یک، (ب) با مقیاس رنگی اصلاح شده، نسبت دامنه سیگنال به نویه ۱ (ج) با مقیاس رنگی صفر تا یک، (د) با مقیاس رنگی اصلاح شده، نسبت دامنه سیگنال به نویه ۲ (ه) با مقیاس رنگی صفر تا یک، (و) با مقیاس رنگی اصلاح شده نسبت دامنه سیگنال به نویه ۳، (ح) با مقیاس رنگی صفر تا یک، (ط) با مقیاس رنگی اصلاح شده.



شکل ۸. تغییرات بسامد غالب موجک لرزه‌ای و نشان دادن توانایی الگوریتم ناپیوستگی ساختاری محلی (LSE)، بسامد ۲۰ Hz (الف)، بسامد ۴۰ Hz (ب)، با مقیاس رنگی اصلاح شده، بسامد ۳۰ Hz (ج) با مقیاس رنگی صفر تا یک، (د) با مقیاس رنگی اصلاح شده و، بسامد ۴۰ Hz (ه) با مقیاس رنگی صفر تا یک، (و) با مقیاس رنگی اصلاح شده.

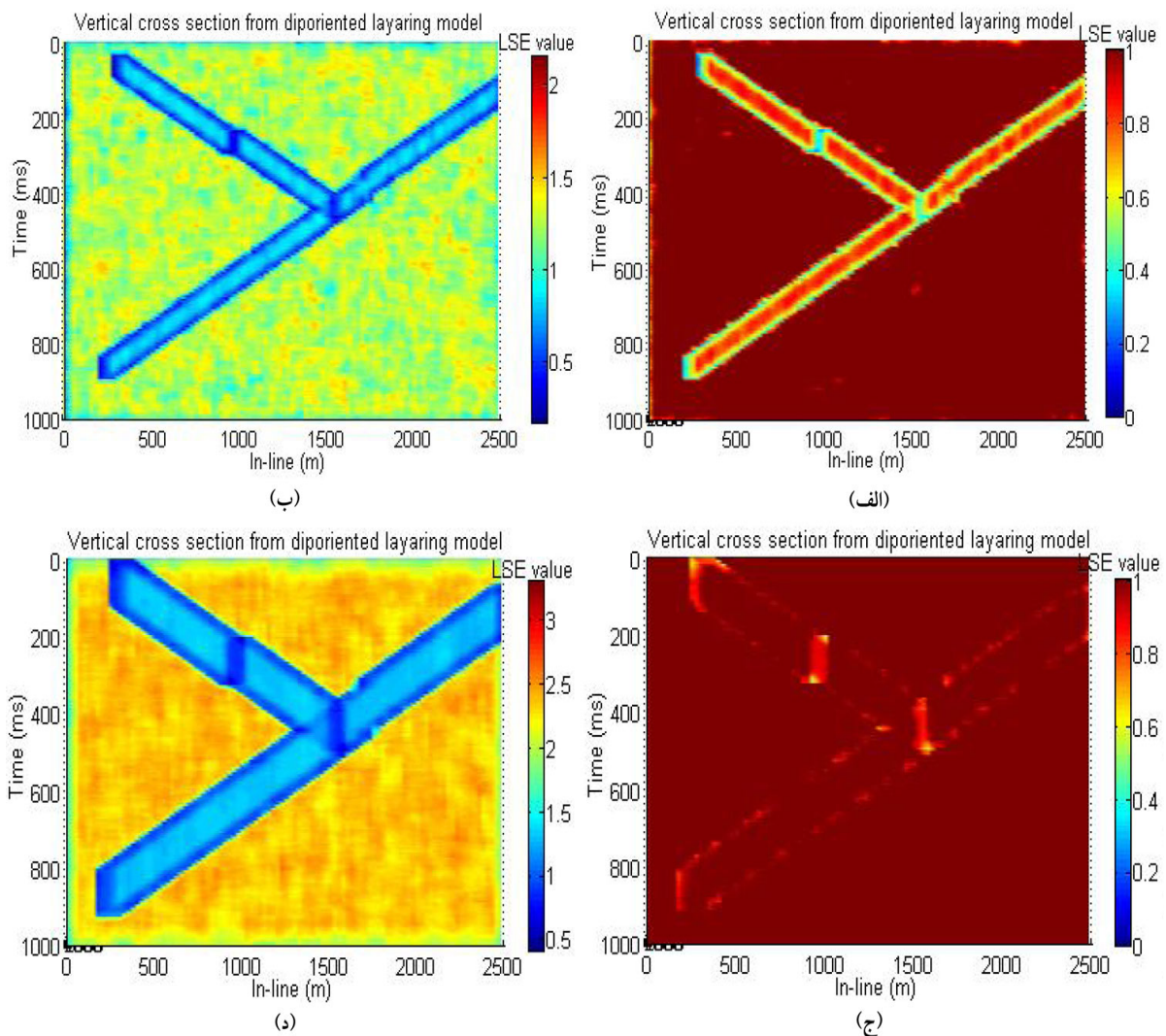


شکل ۹. شکل دو بعدی، از مدل زمین‌شناسی مصنوعی با لایه‌بندی متقطع شامل دو لایه شیبدار متقطع گسل خورده با بسامد غالب موجک لرزه‌ای ریکر برابر ۳۵Hz با نسبت دامنه سیگنال به نویه ۱.

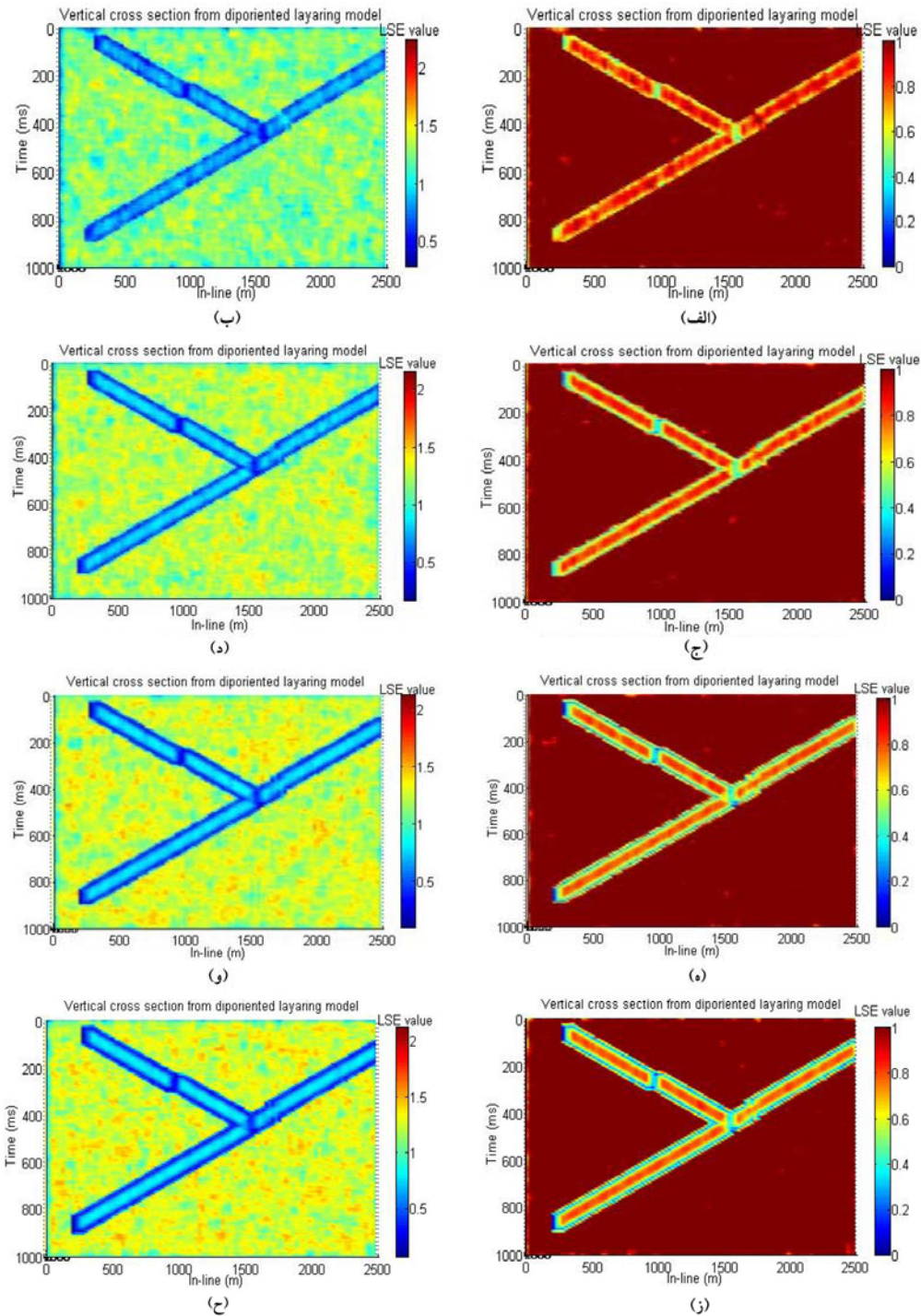
راستای خط گیرنده و چشمی ۲۵ متر، طول خط گیرنده ۲۵۲۵ متر، طول خط چشمی ۱۷۷۵ متر است (101×71 × ۲۵۱ ردلرزه). ابعاد مکعب داده‌های لرزه‌ای انتخاب شده $(101 \times 71 \times 13)$ است. دو برش زمانی و یک مقطع قائم از مکعب دامنه لرزه‌ای برای نشان دادن نتایج انتخاب شد (شکل ۱۳). نتایج اعمال این سه نشانگر بر داده واقعی در شکل‌های ۱۴، ۱۵، ۱۶ آمده است. گسل‌ها به خوبی در مقطع قائم و برش‌های زمانی همدوسی ظاهر شده‌اند.

۴ داده واقعی

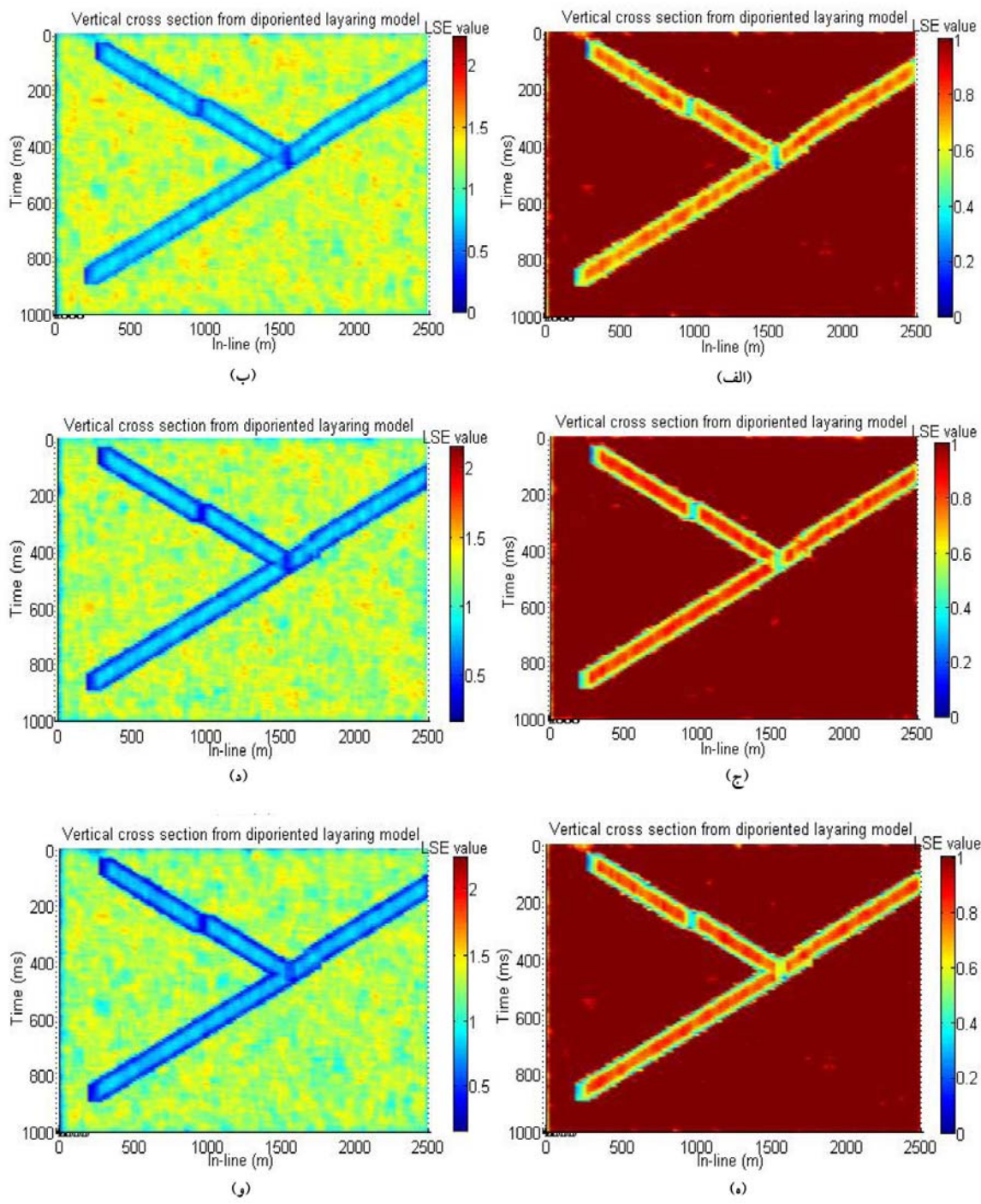
در این مرحله به منظور اطمینان یافتن از کارایی روش ناپیوستگی ساختاری محلی، این نشانگر، نشانگر همدوسی شباهت و نشانگر همدوسی ساختار ویژه روی مکعبی از داده‌های لرزه‌ای میدان گازی خانگیران که کوچ زمانی پس از برانبارش داده شده‌اند، به کار رفت. فاصله نمونه‌برداری زمانی ۴ میلی‌ثانیه، تعداد نمونه‌های زمانی ۲۵۱ نمونه است. فاصله نمونه‌برداری مکانی در



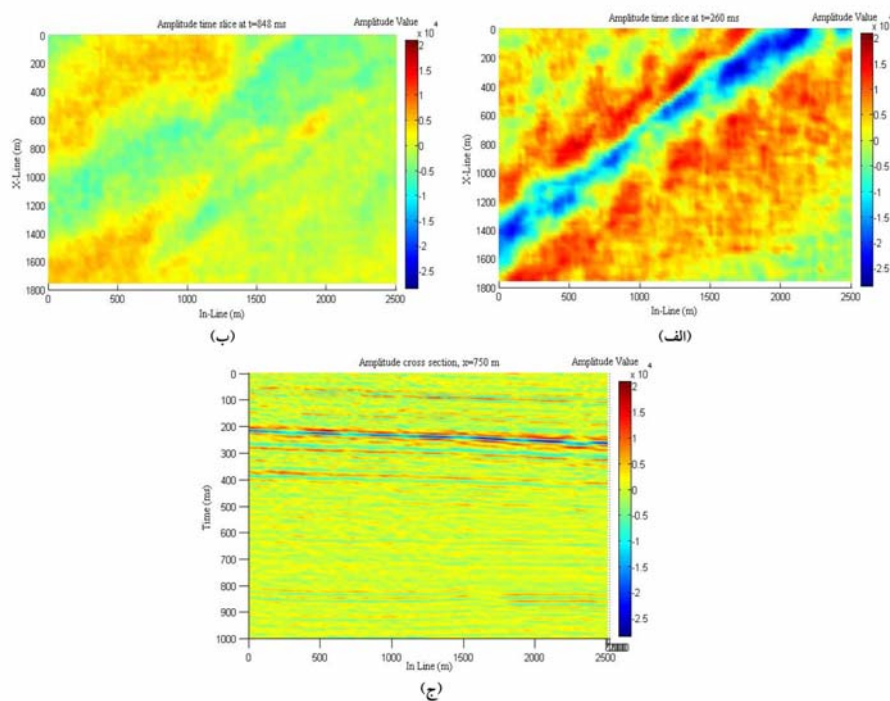
شکل ۱۰. تغییرات ابعاد مکعب تحلیل و نشان دادن توانایی الگوریتم ناپیوستگی ساختاری محلی (LSE) برای مدل زمین‌شناسی مصنوعی تولید شده با لایه‌بندی شبیه‌دار با نسبت دامنه سیگنال به نویه ۱ و بسامد غالب موجک لرزه‌ای ریکر 35 Hz ، مکعب تحلیل با ابعاد $15 \times 7 \times 1$ (الف) با مقیاس رنگی صفر تا یک، (ب) با مقیاس رنگی اصلاح شده، مکعب تحلیل با ابعاد $31 \times 6 \times 6$ (ج) با مقیاس رنگی صفر تا یک، (د) با مقیاس رنگی اصلاح شده.



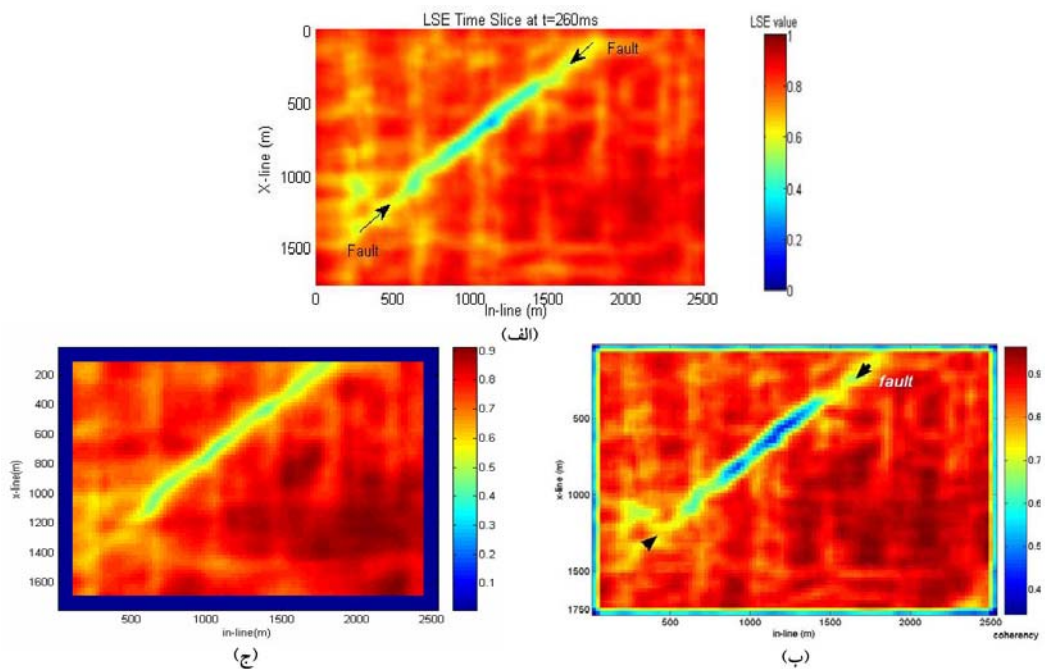
شکل ۱۱. تغییرات نسبت دامنه سیگنال به نوفه و نشان دادن توانایی الگوریتم ناپیوستگی ساختاری محلی (LSE) برای مدل زمین‌شناسی مصنوعی تولید شده با لایه‌بندی متقطع و بسامد غالب موجک لرزه‌ای 35Hz مکعب تحلیل با ابعاد $4 \times 4 \times 15$ ، نسبت دامنه سیگنال به نوفه 0.05 (الف) با مقیاس رنگی صفر تا یک، (ب) با مقیاس رنگی اصلاح شده، نسبت دامنه سیگنال به نوفه ۱ (ج) با مقیاس رنگی صفر تا یک، (د) با مقیاس رنگی اصلاح شده، نسبت دامنه سیگنال به نوفه 2×0.05 (ز) با مقیاس رنگی صفر تا یک، (و) با مقیاس رنگی اصلاح شده و نسبت دامنه سیگنال به نوفه 3×0.05 (ز) با مقیاس رنگی صفر تا یک، (ج) با مقیاس رنگی اصلاح شده.



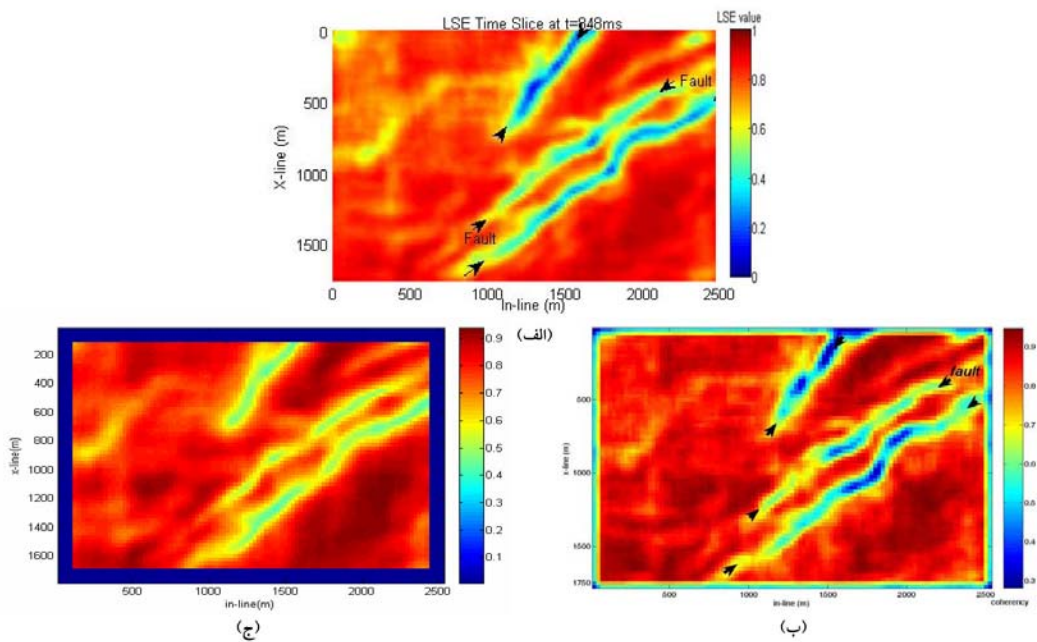
شکل ۱۲. تغییرات بسامد غالب موجک لرزه‌ای و نشان دادن توانایی الگوریتم ناپیوستگی ساختاری محلی (LSE) برای مدل زمین‌شناسی مصنوعی تولید شده با لایه‌بندی متقطع با نسبت دامنه سیگنال به نویه ۱۰ مکعب تحلیل با ابعاد ۴، ۱۵، ۴، ۲۰ Hz (الف) با مقیاس رنگی صفر تا یک، (ب) با مقیاس رنگی اصلاح شده، بسامد ۲۵ Hz (ج) با مقیاس رنگی صفر تا یک، (د) با مقیاس رنگی اصلاح شده، بسامد ۴۰ Hz، (ه) با مقیاس رنگی صفر تا یک، (و) با مقیاس رنگی اصلاح شده.



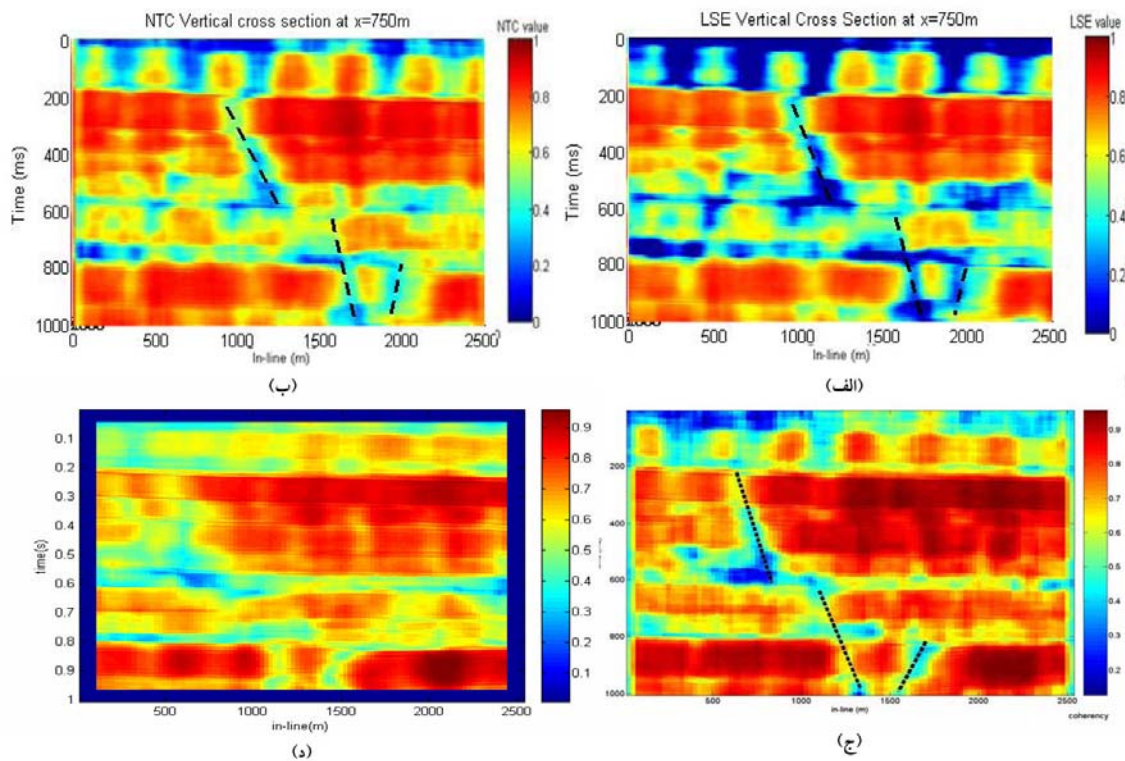
شکل ۱۳. برش‌های زمانی از مکعب دامنه لرزه‌ای در (الف) $t = 260 \text{ ms}$, (ب) $t = 848 \text{ ms}$ ، (ج) مقطع قائم از مکعب دامنه لرزه‌ای در $z = 750 \text{ m}$



شکل ۱۴. برش‌های زمانی در $t = 260 \text{ ms}$ (الف) از مکعب شباهت (هاشمی گازار و همکاران، ۱۳۸۶)، (ب) از مکعب ساختارویژه (جوهری نیستانک و جواهیریان، ۱۳۸۵).



شکل ۱۵. برش های زمانی در $t = 848\text{ms}$. (الف) از مکعب شباهت (هاشمی گازار و جواهريان، ۱۳۸۶)، (ب) از مکعب ساختارویژه (جواهري نيسستانک و جواهريان، ۱۳۸۵).



شکل ۱۶. مقطع قائم در $x = 750\text{m}$. (الف) از مکعب شباهت (هاشمی گازار و جواهريان، ۱۳۸۶)، (ب) از مکعب NTC (ج) از مکعب LSE (د) از مکعب ساختارویژه (جواهري نيسستانک و جواهريان، ۱۳۸۵).

در حالی که در روش همبستگی متقابل از آنجاکه فقط از سه ردیزه استفاده می‌شود، در صورتی که داده‌های ورودی نوفره‌دار باشند این روش توانایی شناسایی گسل‌ها را ازدست می‌دهد (که این مزیت روش‌های پیش‌گفته بر روش همبستگی متقابل است) (جواهری نیستانک و همکاران، ۱۳۸۵).

تشکر و قدردانی
نگارندگان لازم می‌دانند تا قدردانی خود را از معاونت پژوهشی دانشگاه که امکان اجرای این طرح را می‌سیر ساخت و همچنین از جناب آقای دکتر امین روشن‌دل کاهو، دانشجوی دوره دکتری مؤسسه ژئوفیزیک دانشگاه تهران گرایش لرزه‌شناسی به دلیل راهنمایی‌های علمی در تهیه برنامه رایانه‌ای در این تحقیق ابراز دارند.

منابع

- جواهری نیستانک، ع. ر.، جواهريان، ع.، و اميني، ن.، ۱۳۸۵، پایان‌نامه کارشناسی ارشد، مؤسسه ژئوفیزیک دانشگاه تهران.
هاشمی گازار، ع.، و جواهريان، ع.، ۱۳۸۶، کاربرد نشانگر لرزه‌ای شباهت در به تصویر کشیدن ناپیوستگی‌های ساختاری در داده‌های لرزه‌ای سه‌بعدی، پایان‌نامه کارشناسی ارشد، مؤسسه ژئوفیزیک دانشگاه تهران.
Bahorich, M. S., and Farmer, S. L., 1995, 3-D seismic discontinuity for faults and stratigraphic features, the coherence cube, *The Leading Edge*, **14**, 1053-1058.
Brown, A. R., 1996, Seismic attributes and their classification: *The Leading Edge*, **15**(10), 1090.
Cohen, I., and Coifman, R. R., 2002, Local discontinuity measures for 3-D seismic data. *Geophysics*, **67**(6), 1933-1945.
Chopra, S., and K. J., Marfurt, 2005, Seismic attributes— A historical perspective, *Geophysics*, **70**(5), 3SO-28SO.
Golub, G. H., and Van Loan, C. F., 1989, Matrix computations, John Hopkins Univ. Press.

۵ نتیجه‌گیری

الگوریتم ناپیوستگی ساختاری محلی به بسامد غالب موجک لرزه‌ای، نسبت دامنه سیگنال به نوفره و ابعاد مکعب تحلیل وابسته است. افزایش بسامد غالب موجک لرزه‌ای و نسبت دامنه سیگنال به نوفره تفکیک‌پذیری را افزایش می‌دهند. در مورد بسامد غالب موجک لرزه‌ای، منظور از افزایش تفکیک‌پذیری جلوگیری از پهن شدن بیش از حد لایه‌ها، تصویر کردن لایه با ضخامت واقعی‌تر و همچنین بهتر مشخص ساختن مرز لایه‌ها و مرز نواحی گسل خورده است. در مورد نسبت دامنه سیگنال به نوفره، منظور از افزایش تفکیک‌پذیری، افزایش تضاد رنگی بین نواحی همدوس و غیر همدوس است.

از آنجاکه در این روش‌ها، برخلاف روش ساختار ویژه، می‌توان ابعاد مکعب تحلیل را به هر اندازه دلخواه تغییر داد، می‌توان تأثیر معکوس نسبت سیگنال به نوفره بر تفکیک‌پذیری ووضوح تصاویر را تعديل کرد. برای مثال هنگامی که نسبت سیگنال به نوفره کم داده‌ها موجب کاهش تفکیک‌پذیری می‌شود با افزایش ابعاد مکعب تحلیل می‌توان نسبت سیگنال به نوفره و در نتیجه تفکیک‌پذیری را افزایش داد. با وجود اینکه افزایش ابعاد مکعب تحلیل نسبت سیگنال به نوفره را افزایش می‌دهد، زمان محاسبات را افزایش می‌دهد. به علاوه تفکیک‌پذیری جانبی و قائم را کاهش می‌دهد و باعث می‌شود نواحی گسل خورده و لایه‌ها خود را پهن‌تر نشان دهند. به علاوه در این روش‌ها می‌توان تعداد نمونه‌های زمانی درون مکعب تحلیل را به هر تعداد دلخواهی کاهش داد، بنابراین قادر به شناسایی تغییرات ساختاری و چینه‌شناسی با طول مدت دوام قائم بسیار کوتاه (ضخامت کم) نیز هستیم. کیفیت تصاویر این روش‌ها مستقیماً وابسته به کیفیت داده‌های ورودی است. چنانچه داده‌های ورودی دارای نوفره زیادی باشند، با توجه به هدف مفسر می‌توان ابعاد مکعب تحلیل را تغییر داد تا بهترین نتیجه حاصل شود.

- Gresztenkorn, A., and Marfurt, K. J., 1999, Eigen-structure-based coherence computations as an aid to 3-D structural and stratigraphic mapping, *Geophysics*, **64**, 1468-1479.
- Marfurt, K. J., Kirlin, R. L., Farmer, S. L., and Bahorich, M. S., 1998, 3-D seismic attributes using a semblance-based coherency algorithm, *Geophysics*, **63**(4), 1150-1165.
- Sheriff, R. E., 1991, Encyclopedic Dictionary of Exploration Geophysics:SEG .